

ΤΜΗΜΑ ΗΛΕΚΤΡΟΛΟΓΩΝ ΜΗΧΑΝΙΚΩΝ ΚΑΙ
ΜΗΧΑΝΙΚΩΝ ΥΠΟΛΟΓΙΣΤΩΝ



ΔΙΑΤΑΞΕΙΣ ΥΨΗΛΩΝ ΣΥΧΝΟΤΗΤΩΝ

Σειρά Ασκήσεων 2/2

Συγγραφέας:
Σπυρίδων
Χατζηγεωργίου
ΑΕΜ: 10527
spyrchat@ece.auth.gr

July 4, 2023

1 Άσκηση 1

1.1 Μέτρηση διηλεκτρικής σταθεράς υλικού με κυματοδ- ηγό

Ζητείται η εύρεση της σχετικής διηλεκτρικής σταθεράς κάθε υλικού με βάσει τα δεδομένα των μετρήσεων A και B. Η διηλεκτρική σταθερά, υπολογίζεται κάθε φορά από τον τύπο:

$$\varepsilon_r = \left(\frac{f_c}{f}\right)^2 - \frac{1 - \left(\frac{f_c}{f}\right)^2}{\tan\left(\frac{2\pi}{\lambda_g}d_{Amin}\right) \tan\left(\frac{2\pi}{\lambda_g}d_{Bmin}\right)} \quad (1)$$

Η μοντελοποίησή του προβλήματος στην προγραμματιστική πλατφόρμα Matlab φαίνεται παρακάτω:

```
1  c = 3e8;
2  m = 1;
3  n = 0;
4  f = 9e9;
5  a = 22.86 * 1e-3;
6  b = 10.16 * 1e-3;
7  d1 = 1.5e-3;
8  d2 = 1.517e-3;
9
10 %Cutoff Frequency
11 fc=c/(2*a);
12
13
14 %Measurements Without Dielectric
15 WD = [48.4, 73.0, 97.5, 122.2] * 1e-3;
16
17 lambdaG = 2 * ((WD(2)-WD(1)) + (WD(3)-WD(2)) + (WD(4)-WD(3))) * 1/(length(WD)-1);
18
19 %=====Material A=====
20 %Μέτρηση A
21 SC = [46.9, 71.5, 96.0, 120.7] * 1e-3;
22 %Μέτρηση B
23 OC = [55.6, 80.2, 104.7, 129.4] * 1e-3;
```

```

24
25 %Υπολογισμός του dAmin
26 dAmin = 1/3 * (SC(2)-WD(1) + SC(3)-WD(2) + SC(4)-WD(3));
27
28 %Υπολογισμός του dBmin
29 dBmin = 1/4 * (OC(1)-WD(1) + OC(2)-WD(2) + OC(3)-WD(3) + OC(4)-WD(4));
30
31 %Υπολογισμός της διηλεκτρικής σταθεράς
32 er = (fc/f)^2 - (1-(fc/f)^2)/(tan(2*pi/(lambdaG)*dAmin) *
33 tan(2*pi/(lambdaG)*dBmin));
34
35 %=====Material B=====
36 %Παρόμοια για το υλικό B
37 SC2 = [46.7, 71.3, 95.8, 120.5] * 1e-3;
38 OC2 = [52.6, 77.0, 101.7, 126.3] * 1e-3;
39
40 dAmin2 = 1/3 * (SC2(2)-WD(1) + SC2(3)-WD(2) + SC2(4)-WD(3));
41 dBmin2 = 1/4 * (OC2(1)-WD(1) + OC2(2)-WD(2) + OC2(3)-WD(3) + OC2(4)-WD(4));
42
43
44 er2 = (fc/f)^2 - (1-(fc/f)^2)/(tan(2*pi/(lambdaG)*dAmin2) *
45 tan(2*pi/(lambdaG)*dBmin2));

```

Ο κώδικας είναι αρκετά απλός. Ορίζει τις παραμέτρους του προβλήματος, καθώς και Μετρήσεις που δίνονται στην εκφώνηση και ακολουθούν απλές αριθμητικές πράξεις, οι οποίες παρουσιάζονται αναλυτικά στην εργαστηριακή αναφορά. Πιο συγκεκριμένα μοντελοποιείται μια κλασική διάταξη υπολογισμού της διηλεκτρικής σταθεράς με χρήση κυματοδηγού.

Από τα παραπάνω προκύπτουν:

- $\epsilon_r A = 2.3728$
- $\epsilon_r B = 4.1830$

1.2 Υπολογισμός ϵ_r κάνοντας χρήση μόνο της Μέτρησης A

Θα προσπαθήσουμε να υπολογίσουμε την διηλεκτρική σταθερά χρησιμοποιώντας μόνο την πρώτη μέτρηση για κάθε υλικό. Πιο συγκεκριμένα γνωρίζουμε ότι:

$$-jZ_0 \tan(\beta d A_{min}) = jZ'_0 \tan(\beta' d) \Rightarrow \frac{-120\pi}{\sqrt{1-(\frac{f_c}{f})^2}} = \frac{120\pi}{\sqrt{\epsilon_r - (\frac{f_c}{f})^2}} \tan(\frac{2\pi}{\lambda'_g} d)$$

$$\frac{\tan(\frac{2\pi d}{c} f \sqrt{\epsilon_r - (\frac{f_c}{f})^2})}{\sqrt{\epsilon_r - (\frac{f_c}{f})^2}} + \frac{\tan(\frac{2\pi}{\lambda_g} d A_{min})}{\sqrt{1 - (\frac{f_c}{f})^2}} = 0, \quad \text{θέτοντας} \quad x = \frac{2\pi d f}{c} \sqrt{\epsilon_r - (\frac{f_c}{f})^2}$$

προκύπτει:

$$\frac{\tan(x)}{x} + \frac{c}{2\pi d f} \frac{\tan(\frac{2\pi}{\lambda_g} d A_{min})}{\sqrt{1 - (\frac{f_c}{f})^2}} \quad (2)$$

και:

$$\epsilon_r = (\frac{f_c}{f})^2 + (\frac{cx}{2\pi d f})^2 \quad (3)$$

Η εξίσωση 2 είναι μια υπερβατική εξίσωση, η οποία για να λυθεί απαιτεί τη χρήση του Matlab. Από τη λύση της εξίσωσης 2 με αντικατάσταση στην 3 προκύπτει η διηλεκτρική σταθερά.

Η συνέχεια του προηγούμενου Matlab script φαίνεται παρακάτω:

```

1  %=====Only using the first measurment set=====
2
3
4  %-----Material 1-----
5  x = fzero(@(x) (tan(x)/x + c/(2*pi*d1*f)*
6  tan(2*pi/lambdaG*dAmin)/sqrt(1-(fc/f)^2) ), 2);
7  er_est = (fc/f)^2+(c*x/(2*pi*d1*f))^2;
8
9  %-----Material 2-----
10 y = fzero(@(y) (tan(y)/y + c/(2*pi*d2*f)*
11 tan(2*pi/lambdaG*dAmin2)/sqrt(1-(fc/f)^2) ), 2);
12 er_est2 = (fc/f)^2+(c*y/(2*pi*d2*f))^2;
13
14 %=====

```

Από το παραπάνω προκύπτει:

- $\epsilon_r A = 31.395$
- $\epsilon_r B = 30.707$

Πρέπει να σημειωθεί ότι προφανώς τα αποτελέσματα είναι εσφαλμένα καθώς είναι αρκετά διαφορετικά από αυτά που υπολογίστηκαν στο προηγούμενο ερώτημα. Αυτό μάλλον οφείλεται στην απόσταση d η οποία δίνεται στην εκφώνηση.

2 Άσκηση 2

Στοιχειοκεραία αποτελείται από $N=8$ παράλληλα κατακόρυφα δίπολα $\lambda/2$, με τα δίπολα να διατάσσονται σε οριζόντιο άξονα (x) και με τα κέντρα τους σε αποστάσεις d μεταξύ τους. Η μέγιστη εκπομπή θέλουμε να είναι στο οριζόντιο επίπεδο. Τα ρεύματα μπορεί να είναι είτε όλα ίσα με $+I$, είτε εναλλάξ $+I$ και $-I$.

Έστω ότι τα ρεύματα είναι εναλλάξ:

$$E = j60I \frac{e^{-jkr_i} \cos\left(\frac{\pi}{2} \cos \theta\right)}{r} \quad (4)$$

$$E = j60I \frac{e^{-jkr_i} \cos\left(\frac{\pi}{2} \cos \theta\right)}{r} \quad (5)$$

$$|E| = |E_0| \left| e^{jk\frac{7d}{2} \cos \varphi \sin \theta} - e^{jk\frac{5d}{2} \cos \varphi \sin \theta} + e^{jk\frac{3d}{2} \cos \varphi \sin \theta} - e^{jk\frac{d}{2} \cos \varphi \sin \theta} \right. \\ \left. - e^{-jk\frac{7d}{2} \cos \varphi \sin \theta} + e^{-jk\frac{5d}{2} \cos \varphi \sin \theta} - e^{-jk\frac{3d}{2} \cos \varphi \sin \theta} + e^{-jk\frac{d}{2} \cos \varphi \sin \theta} \right| \quad (6)$$

Από την παραπάνω σχέση προκύπτει:

$$|E| = |E_0| \left| 2j \sin\left(\frac{7kd}{2} \cos \varphi \sin \theta\right) - 2j \sin\left(\frac{5kd}{2} \cos \varphi \sin \theta\right) \right. \\ \left. + 2j \sin\left(\frac{3kd}{2} \cos \varphi \sin \theta\right) - 2j \sin\left(\frac{kd}{2} \cos \varphi \sin \theta\right) \right| \quad (7)$$

Εντελώς παρόμοια μοντελοποιείται το πρόβλημα για την περίπτωση ρευμάτων με ίδιες φορές.

Η μοντελοποίηση της άσκησης φαίνεται στο παρακάτω script:

```

1  % Define the angle in radians
2  phi = deg2rad(0:0.001:2*180);
3  theta = deg2rad(0:0.001:180);
4
5
6  %Lambda value
7  f = 1e9;
8  lambda = physconst('LightSpeed') / f;
9
10 % Dipole length
11 d = lambda/2; % Dipole spacing
12 k = 2*pi/lambda; % Propagation Constant
13 I = 1; % Current that goes through the Dipole
14
15 % Distance from the origin
16 xi = (-7/2:1:7/2);
17
18
19 %=====Select Modes for the Patterns=====
20
21
22 n = 0;% 1 for alternating and 0 for non alternating currents
23 solid = true;% true for 3D radiation pattern
24 vertical = false;% true for vertical radiation pattern and false for horizontal
25
26
27 %=====
28
29
30
31
32
33 %-----Depending on the modes above the "If statements" below will output
34 %the Desired Graph
35
36 if n == 0 && vertical == false && solid == false
37     theta = pi/2;
38     Etotal = 0;
39     for i = 1:1:8
40         Ei = (cos(pi/2*cos(theta))./sin(theta)).

```

```

41         *exp(1j * k * xi(i) * d .* cos(phi) * sin(theta));
42         Etotal = Etotal + Ei;
43     end
44     Etotal = Etotal / max(Etotal(:));
45     polarplot(phi,abs(Etotal))
46     title('Radiation Pattern')
47     subtitle(['d = ',num2str(d/lambda),'λ',' All Currents have the same direction'])
48
49 %-----%
50
51 elseif n == 1 && vertical == false && solid == false
52     theta = pi/2;
53     Etotal = 0;
54     for i = 1:1:8
55         Ei = (cos(pi/2*cos(theta))./sin(theta)).*cos((i-1)*pi*n).
56             *exp(1j * k * xi(i) * d .* cos(phi) * sin(theta));
57         Etotal = Etotal + Ei;
58     end
59     Etotal = Etotal / max(Etotal(:));
60     polarplot(phi,abs(Etotal))
61     title('Radiation Pattern')
62     subtitle(['d = ',num2str(d/lambda),'λ',' Alternating Currents'])
63
64 %-----%
65
66 elseif n == 0 && vertical == true && solid == false
67     theta = deg2rad(0.0001:0.001:360);
68     phi = 0;
69     Etotal = 0;
70     for i = 1:1:8
71         Ei = (cos(pi/2*cos(pi/2 - theta))./sin(pi/2 - theta)).
72             *exp(1j .* k .* xi(i) .* d .* cos(phi) .* sin(pi/2 - theta));
73         Etotal = Etotal + Ei;
74     end
75     Etotal = Etotal / max(Etotal(:));
76     polarplot(theta,abs(Etotal))
77     title('Vertical Radiation Pattern')
78     subtitle(['d = ',num2str(d/lambda),'λ',' All Currents have the same direction','
79 phi =', num2str(phi)])
80

```

```

81  %-----%
82
83
84  elseif n == 1 && vertical == true && solid == false
85      theta = deg2rad(0.0001:0.001:360);
86      phi = pi/2;
87      Etotal = 0;
88      for i = 1:1:8
89          Ei = (cos(pi/2*cos(pi/2 - theta))./sin(pi/2 - theta)).*cos((i-1)*pi*n).
90              *exp(1j * k * xi(i) .* d .* cos(phi) .* sin(pi/2 - theta));
91          Etotal = Etotal + Ei;
92      end
93      Etotal = Etotal / max(Etotal(:));
94      polarplot(theta,abs(Etotal))
95      title('Vertical Radiation Pattern')
96      subtitle(['d = ',num2str(d/lambda),'λ',' Alternating Currents','
97          phi =', num2str(phi)])
98
99  %-----%
100
101
102  elseif n == 0 && solid == true
103      theta = linspace(0.001, pi, 360);
104      phi = linspace(0, 2*pi, 360);
105      [Theta, Phi] = meshgrid(theta, phi);
106
107      Etotal = zeros(length(theta), length(phi));
108      for i = 1:length(xi)
109          Ei = (exp(1j * k * xi(i) * d .* cos(Phi) )
110              .* sin(Theta)).*cos(pi/2*cos(Theta))./sin(theta);
111          Etotal = Ei + Etotal;
112      end
113
114      Dir = Directivity(Etotal,theta,phi);
115      fprintf('The Directivity Calculated using
116          the Riemann Approximation is: %f\n', Dir)
117
118      E=@(phi,theta) 1/4 * (cos(pi/2*cos(theta))./sin(theta)).
119          *abs(2*cos(7/2 .* k .*d.*cos(phi)).*sin(theta))
120          + 2*cos(5/2 .*k .*d.*cos(phi)).*sin(theta))

```



```

121     + 2*cos(3/2 .*k .*d.*cos(phi).*sin(theta))
122     + 2*cos(1/2 .*k .*d.*cos(phi).*sin(theta)));
123     x=@(phi,theta) E(phi,theta).*cos(phi).*sin(theta);
124     y=@(phi,theta) E(phi,theta).*sin(phi).*sin(theta);
125     z=@(phi,theta) E(phi,theta).*cos(theta);
126     fsurf(x,y,z,[0 2*pi 0 pi]);
127     colorbar;
128     title(['3D Radiation pattern for d = ', num2str(d/lambda),'λ']);
129     subtitle(['All Currents have the same direction']);
130     xlabel('X');
131     ylabel('Y');
132     zlabel('Z');
133
134
135     %-----%
136
137     elseif n == 1 && solid == true
138
139         theta = linspace(0.001, pi, 360);
140         phi = linspace(0, 2*pi, 360);
141         [Theta, Phi] = meshgrid(theta, phi);
142         Etotal = zeros(length(theta), length(phi));
143
144         ctr = 0;
145         for i = 1:length(xi)
146             Ei = (cos((ctr)*pi).*exp(1j * k * xi(i) * d .* cos(Phi)
147                 .* sin(Theta))).*cos(pi/2*cos(Theta))./sin(theta);
148             Etotal = Etotal + Ei;
149             ctr = ctr + 1;
150         end
151
152         Dir = Directivity(Etotal,theta,phi);
153         fprintf('The Directivity Calculated using the Riemann Approximation
154         is: %f\n', Dir)
155
156         E=@(phi,theta) 1/4 * (cos(pi/2*cos(theta))./sin(theta))
157         .*abs(2j*sin(7/2 .* k .*d.*cos(phi).*sin(theta))
158         - 2j*sin(5/2 .*k .*d.*cos(phi).*sin(theta))
159         + 2j*sin(3/2 .*k .*d.*cos(phi).*sin(theta))
160         - 2j*sin(1/2 .*k .*d.*cos(phi).*sin(theta)));

```

```

161     x=@(phi,theta) E(phi,theta).*cos(phi).*sin(theta);
162     y=@(phi,theta) E(phi,theta).*sin(phi).*sin(theta);
163     z=@(phi,theta) E(phi,theta).*cos(theta);
164     fsurf(x,y,z,[0 2*pi 0 pi]);
165     colorbar;
166     title(['3D Radiation pattern for d = ', num2str(d/lambda),'λ']);
167     subtitle(['Alternating Currents']);
168     xlabel('X');
169     ylabel('Y');
170     zlabel('Z');
171 end

```

2.1 Ερώτημα Α και Β

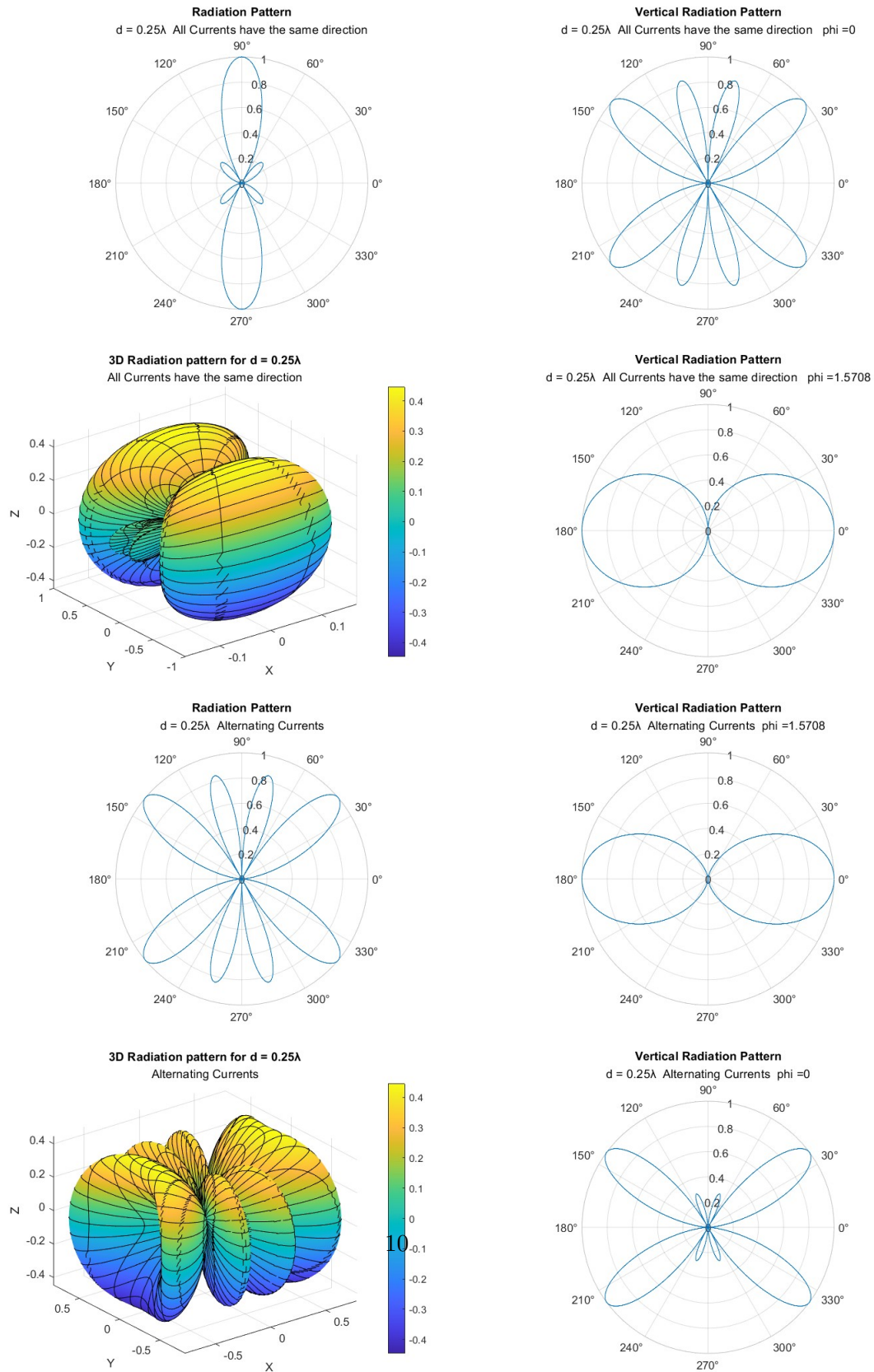


Figure 1: Διαγράμματα Ακτινοβολίας για $d=0.25\lambda$

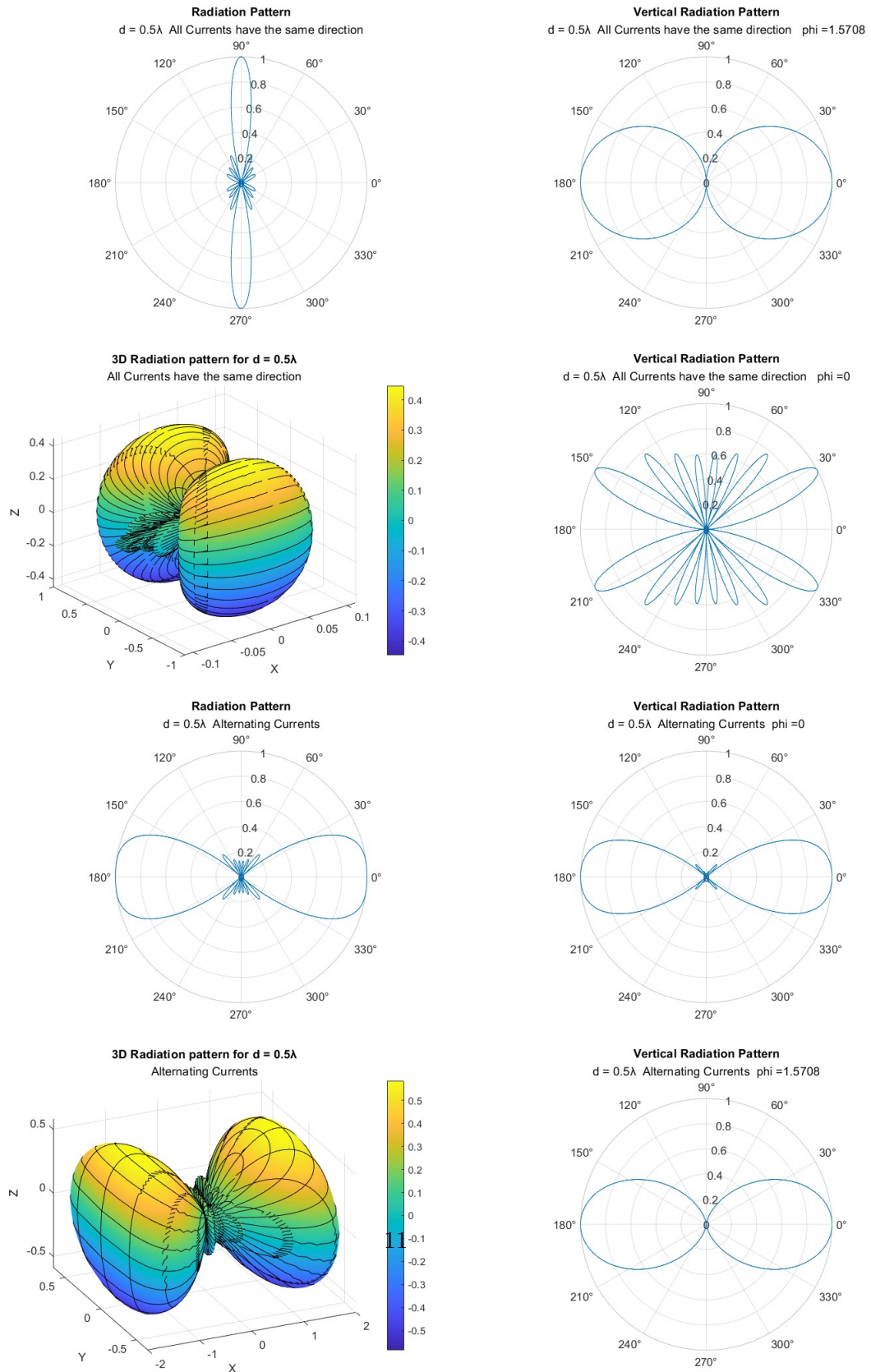


Figure 2: Διαγράμματα Ακτινοβολίας για $d=0.5\lambda$

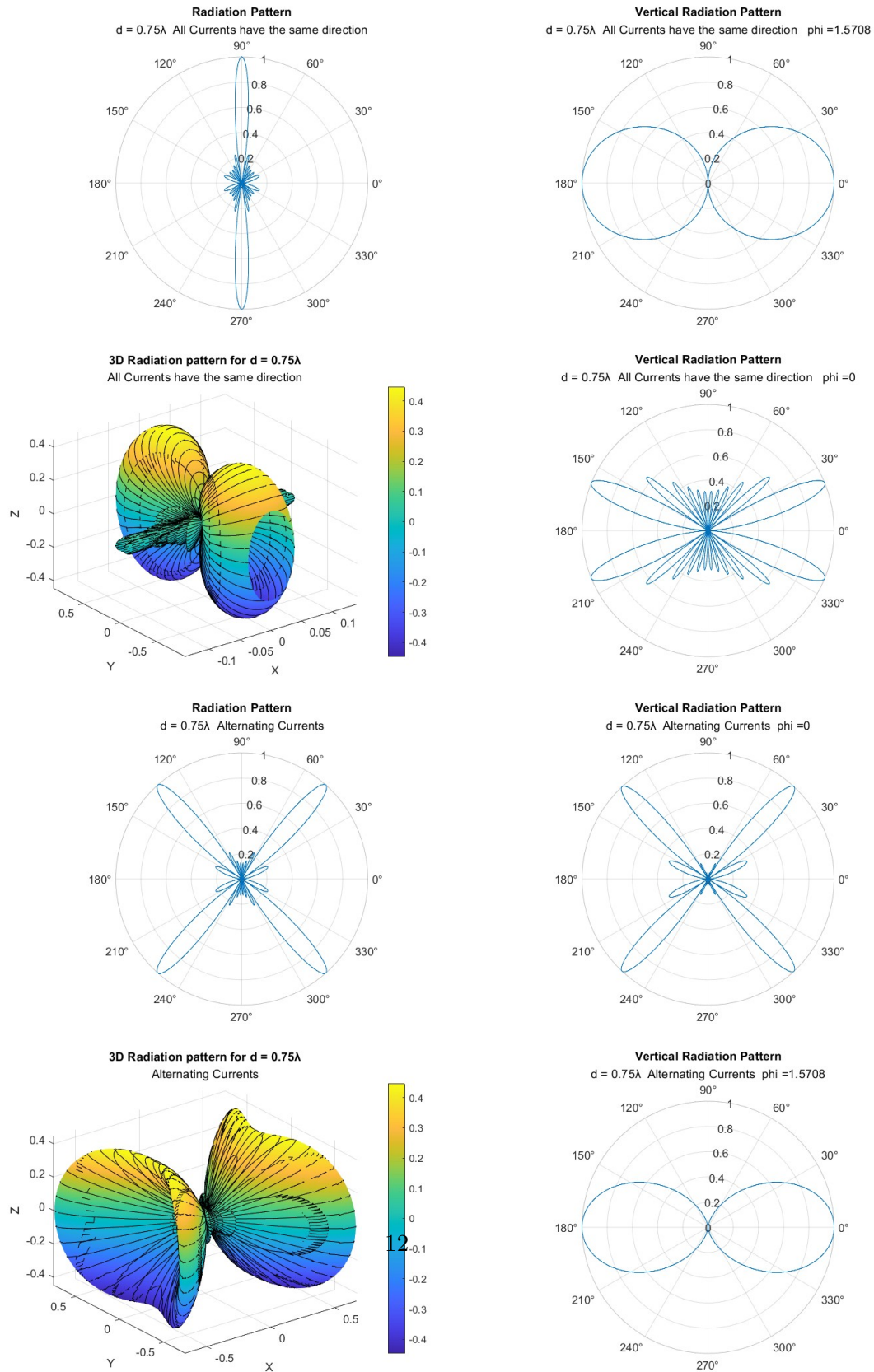


Figure 3: Διαγράμματα Ακτινοβολίας για $d=0.75\lambda$

Τα παραπάνω διαγράμματα παράγονται αν τρέξουμε τον κώδικα που αναπτύχθηκε για τις διάφορες επιλογές (modes) όπως φαίνεται στο script. Η διαδικασία που ακολουθήθηκε είναι η εξής:

- Υπολογισμός Ηλεκτρικού Πεδίου βάσει των εξισώσεων 6 και 7
- Κανονικοποίηση του Ηλεκτρικού Πεδίου ως προς το E_{max}
- Εκτύπωση Κατάλληλων Γραφημάτων για την κάθε περίπτωση

Παρατηρήσεις:

Για το Κατακόρυφο Διάγραμμα της Ακτινοβολίας δίνονται δύο διαγράμματα, για $\varphi = \frac{\pi}{2}$ και για $\varphi = 0$. Ενώ πρέπει να σημειωθεί ότι στον υπολογισμό του πεδίου πρέπει να χρησιμοποιηθεί η γωνία $\frac{\pi}{2} - \theta$, καθώς το Matlab ως θ αντιλαμβάνεται την γωνία ανύψωσης (elevation angle) ενώ χρειάζεται για το διάγραμμα η γωνία με τον άξονα z. Για το Στερεό της ακτινοβολίας έγινε χρήση anonymous function E με ορίσματα φ , θ , k, d και μετά έγινε κατάλληλη μετατροπή από σφαιρικές σε καρτεσιανές συντεταγμένες.

2.2 Ερώτημα Γ

Διαπιστώστε ποιοι είναι οι σωστοί συνδυασμοί απόστασης και τροφοδοσίας για ευρύπλευρη ή ακροπυροδοτική λειτουργία (μέγιστο προς τον άξονα y ή τον άξονα x, αντίστοιχα), δικαιολογώντας τη σχετική επιλογή.

Με γνώμονα τα διαγράμματα ακτινοβολίας, φαίνεται ότι για ευρύπλευρη λειτουργία(μέγιστο στον άξονα y) ο καταλληλότερος συνδυασμός(υπάρχουν και άλλοι βέβαια, η επιλογή έγινε με βάση την κατευθυντικότητα) είναι για $d = \frac{\lambda}{2}$ και για ίδιας φοράς ρεύματα, καθώς από το οριζόντιο διάγραμμα φαίνεται να παρουσιάζει μέγιστο E για $\varphi = 90^\circ$.

Για Ακροπυροδοτική λειτουργία (μέγιστο στον άξονα x) για παρόμοιους λόγους με προηγουμένως, ο καταλληλότερος συνδυασμός, φαίνεται να είναι για $d = \frac{\lambda}{2}$ και για ρεύματα που η φορά τους εναλλάσσεται.

2.3 Ερώτημα Δ

Για τις (δύο) περιπτώσεις αυτές προσδιορίστε υπολογιστικά την κατευθυντικότητα της στοιχειοκεραίας από τον ορισμό (υπολογίστε το επιφανειακό ολοκλήρωμα στον παρονομαστή ως διπλό άθροισμα Riemann παίρνοντας ένα μεγάλο αριθμό σημείων υπολογισμού της πυκνότητας ισχύος, π.χ. ανά μία μοίρα τόσο

κατά θ όσο και κατά ϕ). Συγκρίνετε με τους θεωρητικούς (προσεγγιστικούς τύπους) για την κατευθυντικότητα: Ευρύπλευρη (broadside): $D = 2Nd/\lambda$
Ακροπυροδοτική (endfire): $D = 4Nd/\lambda$

Για τον υπολογισμό της κατευθυντικότητας δημιουργήθηκε νέα συνάρτηση η οποία δέχεται ως όρισμα το Συνολικό ηλεκτρικό πεδίο καθώς και τα διανύσματα των γωνιών ϕ και θ . Η συνάρτηση καλείται μέσα στο βασικό script για τις περιπτώσεις του στερεού της ακτινοβολίας ώστε να χρησιμοποιηθεί το συνολικό Ηλεκτρικό πεδίο που υπολογίζεται εκεί. Η συνάρτησή Directivity φαίνεται παρακάτω:

```

1 function D = Directivity(Etotal, theta, phi)
2     Pr = (abs(Etotal)).^2 ./ (120*pi*2);
3     Prmax = max(max(Pr));
4     Ptotal = 0;
5
6     [Theta, Phi] = meshgrid(theta, phi);
7
8     for phiIndex = 1:(length(phi)-1)
9         for thetaIndex = 1:(length(theta)-1)
10             dphi = phi(phiIndex+1) - phi(phiIndex);
11             dtheta = theta(thetaIndex+1) - theta(thetaIndex);
12             Ptotal = (Ptotal + Pr(phiIndex,thetaIndex)
13                 .*sin(Theta(thetaIndex,phiIndex)).*dphi.*dtheta);
14         end
15     end
16     D = 4*pi*Prmax/Ptotal;
17 end

```

Για τους παραπάνω συνδυασμούς η κατευθυντικότητα υπολογίζεται:

- 11.689 - ευρύπλευρη
- 8.2302 - ακροπυροδοτική

Παρατηρούμε ότι τα αποτελέσματα δεν ταυτίζονται με τους προσεγγιστικούς τύπους, σύμφωνα με τους οποίους η κατευθυντικότητα θα έπρεπε να είναι 16 και 8 αντίστοιχα. Προφανώς κάτι έχει πάει λάθος στο κομμάτι της αριθμητικής ολοκλήρωσής γιατί το πεδίο φαίνεται να υπολογίζεται σωστά. Υπάρχει βέβαια και η περίπτωση οι προσεγγιστικοί τύποι να είναι λανθασμένοι.

Παρατηρήσεις: Για την υλοποίηση της Συνάρτησης υπολογισμού της κατευθυντικότητας, βρέθηκε το ηλεκτρικό πεδίο για κάθε συνδυασμό των θ και φ και έπειτα η πυκνότητα της ακτινοβολούμενης ισχύος υπολογίστηκε από το μιγαδικό διάνυσμα Poynting. Έγινε προφανώς χρήση της σχέσης:

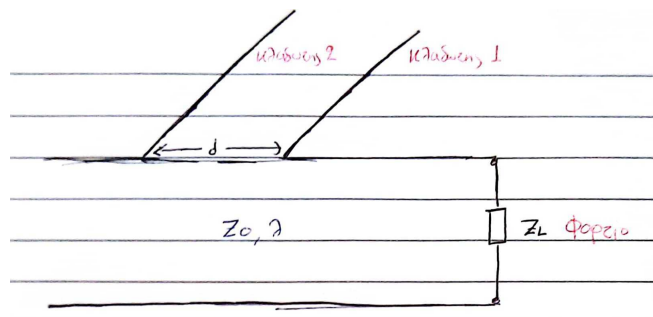
$$\frac{E}{H} = \eta_0 \quad (8)$$

Το ολοκλήρωμα που υπάρχει στον παρονομαστή της σχέσης ορισμού της κατευθυντικότητας υπολογίστηκε προσεγγιστικά με διπλό άθροισμα Riemann για συνολικό δείγμα 360X360 στοιχείων.

3 Άσκηση 3

3.1 Ερώτημα Α

Φορτίο $Z_L = R_L + jX_L$ τροφοδοτείται από γραμμή μεταφοράς χαρακτηριστικής αντίστασης Z_0 , στην οποία το μήκος κύματος στην κεντρική συχνότητα προσαρμογής είναι λ . Για την προσαρμογή χρησιμοποιείται διπλός παράλληλος κλαδωτής (είτε και οι δύο βραχυκυκλωμένοι είτε και οι δύο ανοιχτοκυκλωμένοι) με Z_0 ίδια με αυτήν της κύριας γραμμής. Προσδιορίστε από τα παραπάνω μεγέθη τα μήκη των κλαδωτών (γράψτε μαθηματικές εκφράσεις που προκύπτουν από την επίλυση με βάση τη θεωρία γραμμών μεταφοράς). Το φορτίο είναι τοποθετημένο ακριβώς στο σημείο σύνδεσης με τον δεξιό κλαδωτή. Οι κλαδωτές βρίσκονται σε σταθερή απόσταση d .



Ξεκινάμε από φορτίο Z_L . Δεδομένου ότι οι κλαδωτές είναι συνδεδεμένοι παράλληλα στη Γραμμή μεταφοράς, το φορτίο μετατρέπεται σε αγωγιμότητα παρακάτω:

$$Y_A = \frac{1}{Z_L} \Rightarrow \frac{1}{R_L + jX_L} = G_A + jB_A \quad (9)$$

Με διάσπαση του κλάσματος σε πραγματικό και φανταστικό μέρος προκύπτει:

$$G_A = \frac{R_L}{R_L^2 + X_L^2} \quad B_A = \frac{-X_L}{R_L^2 + X_L^2} \quad (10)$$

Είναι προφανές ότι μετά τον κλαδωτή 1 έχουμε:

$$Y_B = Y_A + jB_{\kappa\lambda 1} = G_A + j(B_{\kappa\lambda 1} + B_A). \quad (11)$$

Συνεπώς, μετατρέποντας πάλι σε αντίσταση έχουμε:

$$Z_B = \frac{1}{Y_B} \Rightarrow \frac{1}{G_A + j(B_{\kappa\lambda 1} + B_A)} = R_B + jX_B \quad (12)$$

Συνολικά ακολουθώντας παρόμοια τεχνική με την εξίσωση 10 προκύπτει:

$$Z_B = \frac{G_A}{G_A^2 + (B + B_{\kappa\lambda 1})^2} - j \frac{B + B_{\kappa\lambda 1}}{G_A^2 + (B + B_{\kappa\lambda 1})^2} \quad (13)$$

Για την Γραμμή Μεταφοράς:

$$Z_\Gamma = Z_0 \frac{Z_B + jZ_0 \tan(\beta d)}{Z_0 + jZ_B \tan(\beta d)} \quad (14)$$

Με αντικατάσταση:

$$Z_\Gamma = Z_0 \frac{R_B}{(Z_0 - X_B \tan(\beta d)) + R_B \tan(\beta d)} + jZ_0 \frac{X_B + Z_0 \tan(\beta d)}{(Z_0 - X_B \tan(\beta d)) + R_B \tan(\beta d)} \quad (15)$$

$$Y_\Gamma = \frac{1}{Z_\Gamma} \Rightarrow Y_0 \frac{(Z_0 - X_B \tan(\beta d)) + jR_B \tan(\beta d)}{R_B + j(X_B + Z_0 \tan(\beta d))} = G_\Gamma + jB_\Gamma \quad (16)$$

Αν η εξίσωση 16 διασπαστεί σε πραγματικό και φανταστικό μέρος θα προκύψει:

$$G_\Gamma = Y_0 \frac{Z_0 R_B (1 + \tan^2(\beta d))}{R_B^2 + (X_B + Z_0 \tan(\beta d))^2} \quad (17)$$

$$B_\Gamma = Y_0 \frac{R_B^2 \tan(\beta d) - (X_B + Z_0 \tan(\beta d))(Z_0 - X_B \tan(\beta d))}{R_B^2 + (X_B + Z_0 \tan(\beta d))^2}. \quad (18)$$

Τελικά η αγωγιμότητα μετά τον κλαδωτή 2 είναι: $Y_{in} = Y_{\Gamma} + j(B_{\kappa\lambda 2} + B_{\Gamma})$

Από τη συνθήκη προσαρμογής, έχουμε:

- $Y_{in} = Y_0$
- $G_{\Gamma} = Y_0$
- $B_{\kappa\lambda 2} = -B_{\Gamma}$

Για τον υπολογισμό του μήκους των κλαδωτών διακρίνονται οι εξής περιπτώσεις:

1η περίπτωση — Ανοιχτοκυκλωμένος Κλαδωτής

Από τη σχέση $-jB = -jY_0 \tan(\beta l)$ προκύπτει:

$$l_{\kappa\lambda 1} = \frac{1}{2\pi} \tan^{-1}\left(\frac{B_{\Gamma}}{Y_0}\right)\lambda \quad (19)$$

και το μήκος του κλαδωτή 2 προκύπτει από την επίλυση της εξίσωσης:

$$Z_0(R_{\Gamma} - Z_0)\tan^2(\beta d) - 2Z_0X_{\Gamma}\tan(\beta d) + (R_{\Gamma}Z_0 - R_{\Gamma}^2 - X_{\Gamma}^2) = 0 \quad (20)$$

2η περίπτωση — Βραχυκυκλωμένος Κλαδωτής

$$-jB = -jY_0 \cot(\beta l) \quad (21)$$

Το μήκος του κλαδωτή 1 προκύπτει από

$$l_{\kappa\lambda 2} = \frac{1}{2\pi} \operatorname{arccot}\left(\frac{B_{\Gamma}}{Y_0}\right)\lambda \quad (22)$$

3.2 Ερώτημα Β

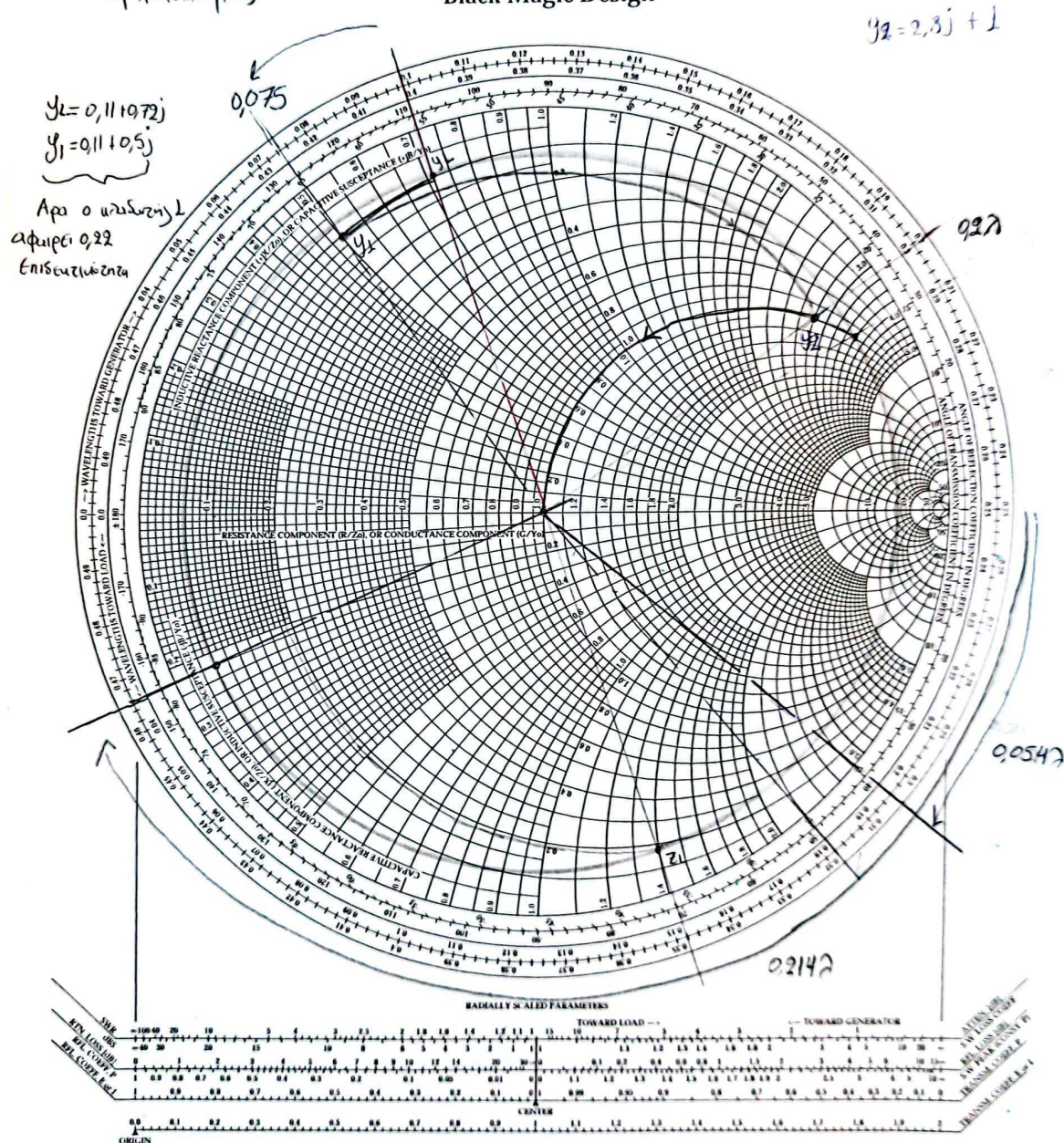
Για προσαρμογή φορτίου $10-j70 \ \Omega$ σε γραμμή μεταφοράς $50 \ \Omega$ σε κεντρική συχνότητα 5 GHz , χρησιμοποιούμε διπλό κλαδωτή με είτε και τους δύο βραχυκυκλωμένους είτε και τους δύο ανοιχτοκυκλωμένους σε σταθερή απόσταση μεταξύ τους $\lambda/8$ (στη συχνότητα των 5 GHz). Απεικονίστε το μέτρο του συντελεστή ανάκλασης (καθαρό αριθμό) για συχνότητες 0 έως 10 GHz , για τις δύο παραπάνω περιπτώσεις και συγκρίνετέ τις ως προς το εύρος ζώνης καλής προσαρμογής (SWR2).

Το μήκος των δύο κλαδωτών μπορεί να βρεθεί με τη χρήση του διαγράμματος Smith, τόσο για τους ανοιχτοκυκλωμένους, όσο και για τους βραχυκυκλωμένους κλαδωτές. Η διαδικασία που ακολουθήθηκε ήταν να οραματιστούμε την πορεία του διαγράμματος smith ώστε να καταλήξουμε σε κύκλο σταθερής αντίστασης την μονάδα, προκείμενου με την προσθήκη (ή την αφαίρεση) επιλεκτικότητας για την κάθε περίπτωση, να φτάσουμε στο κέντρο του διαγράμματος, δηλαδή στην προσαρμογή. Συνολικά βρίσκουμε:

- Βραχυκυκλωμένοι Κλαδωτές $\rightarrow l_1 = 0.214\lambda$ και $l_2 = 0.054\lambda$
- Ανοιχτοκυκλωμένοι Κλαδωτές $\rightarrow l_1 = 0.106\lambda$ και $l_2 = 0.218\lambda$

Τα διαγράμματα smith για τις δύο περιπτώσεις δίνονται παρακάτω:

Brachyura 2 (16%)



Άρα ο $\mu_{\text{αδανωγ 1}} \text{ έχει } \mu_{\text{πρωγ}} = 0,2147$
 και ο $\mu_{\text{αδανωγ 2}} \text{ έχει } \mu_{\text{πρωγ}} = 0,0547$

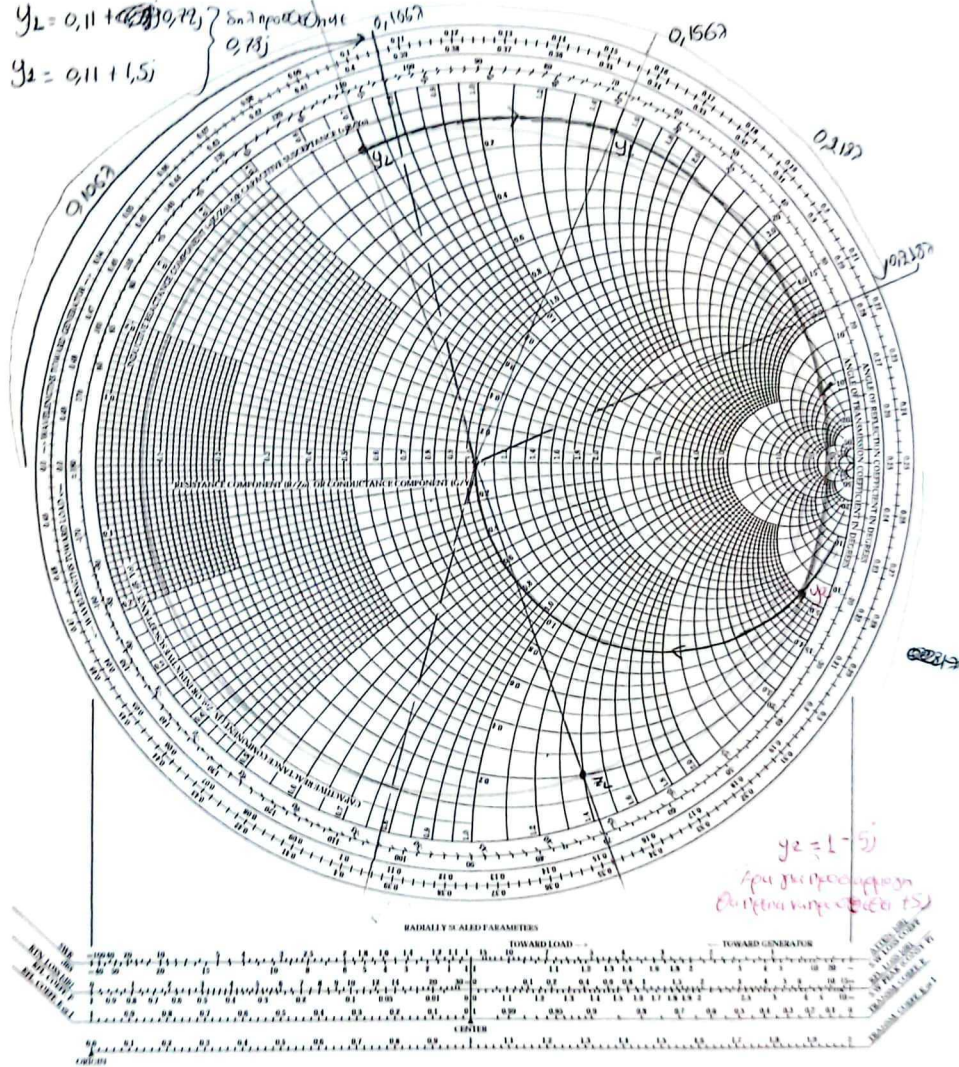
Figure 4: Διάγραμμα Smith για Βραχυκυκλωμένους Κλαδωτές

Ανοιχτοκυκλωμένος
Κλάδος Γ_2

The Complete Smith Chart Black Magic Design

$$y_L = 0,11 + j0,72 \quad \text{στηροαχική}$$

$$y_2 = 0,11 + j1,5 \quad \text{0,13j}$$



Συνολικά το μήκος του κλάδου 2 είναι $0,106\lambda$ και το μήκος του κλάδου 2 είναι $0,210\lambda$

Figure 5: Διάγραμμα Smith για ανοιχτοκυκλωμένους Κλαδωτές
20

Από την υλοποίηση του κυκλώματος στο Matlab, η οποία φαίνεται ενδεικτικά για την περίπτωση των βραχυκυκλωμένων κλαδωτών παρακάτω:

```
1  % Constants
2  Z0 = 50;
3  Z1 = 50;
4  Zs2 = 50;
5  Z3 = 50;
6  N = 201;
7  fmin = 0;
8  fmax = 10e9;
9  f0 = 5e9;
10 f = linspace(0, 2*f0, N);
11 ZL = 10 - 1i*70;
12
13 % Calculations for Line 2
14 betaL2 = 2*pi*0.214*f/f0;
15 ZinS2 = 1i*Z0.*tan(betaL2);
16 ZL2 = (ZinS2.*ZL)./(ZinS2 + ZL);
17
18 % Calculations for Line 1
19 betaL1 = 2*pi*0.125*f/f0;
20 Zin1 = Z0*(ZL2 + 1i*Z0.*tan(betaL1))./(Z0 + 1i.*ZL2.*tan(betaL1));
21
22 % Calculations for Line 3
23 betaL3 = 2*pi*0.054*f/f0;
24 ZinS3 = 1i*Z0.*tan(betaL3);
25 ZL3 = (ZinS3.*Zin1)./(Zin1 + ZinS3);
26
27 % Calculation of S11 and S11dB
28 S11 = (ZL3-Z0)./(ZL3+Z0);
29
30 plot(f/1e9, abs(S11));
31 xlabel('Frequency (GHz)');
32 ylabel('Reflection coefficient');
33
```

Προκύπτουν τα παρακάτω διαγράμματα:

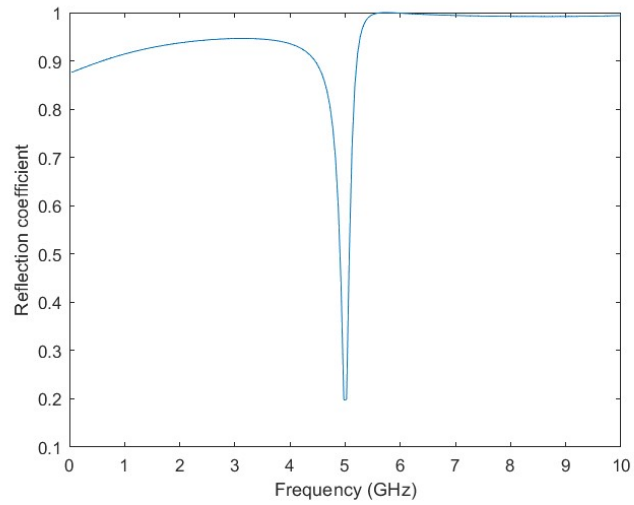


Figure 6: Διάγραμμα Συντελεστή Ανάκλασης για Ανοιχτοκυκλωμένους Κλαδωτές

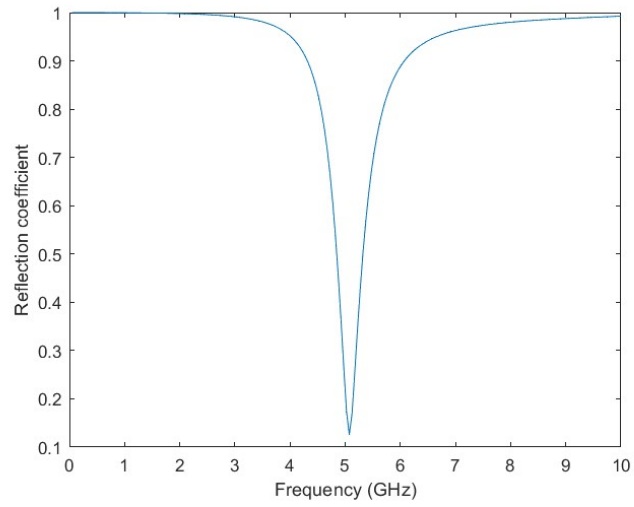


Figure 7: Διάγραμμα Συντελεστή Ανάκλασης για Βραχυκυκλωμένους Κλαδωτές

Ο περιορισμός καλής προσαρμογής $SWR \leq 0.2$ σημαίνει ότι

$$\Gamma \leq \frac{SWR - 1}{SWR + 1} = 0.33. \quad (23)$$

Από τα παραπάνω γραφήματα φαίνεται ότι η διάταξη με τους βραχυκυκλωμένους κλαδωτές το πετυχαίνει αυτό για μεγαλύτερο εύρος ζώνης.

3.3 Ερώτημα Γ

Επιχειρήστε να λύσετε το παραπάνω πρόβλημα (β) αν αντί των δύο κλαδωτών χρησιμοποιηθούν δύο πυκνωτές αλλά σε σειρά με τη γραμμή μεταφοράς. Χρησιμοποιήστε για την επίλυση (προσδιορισμό των χωρητικότητων τους) το διάγραμμα Smith.

Ξεκινώντας από το ίδιο φορτίο $z_L = 0.2 - 1.4j$ και λαμβάνοντας υπόψη ότι οι πυκνωτές σε σειρά προσθέτουν αρνητική αντίδραση, δηλαδή ο πρώτος πυκνωτής θα μας οδηγήσει σε κύκλο σταθερού SWR εξωτερικό του υπάρχοντος. Παρατηρούμε λοιπόν ότι είναι αδύνατον με Γραμμή μεταφοράς μήκους $\lambda/8$ να οδηγηθούμε σε σημείο κατάλληλο ώστε με την προσθήκη αρνητικής αντίδρασης του δεύτερου πυκνωτή, να οδηγηθούμε στην προσαρμογή.

4 Άσκηση 4

Κυλινδρικό αντηχείο μήκους d και διαμέτρου $2a$ με τέλεια αγωγίμα τοιχώματα λειτουργεί σε ρυθμό TM_{010} .

4.1 Ερώτημα Α

Γράψτε τις εκφράσεις του ηλεκτρικού και του μαγνητικού πεδίου στο εσωτερικό του. Σχεδιάστε ποιοτικά τις γραμμές του ηλεκτρικού και μαγνητικού πεδίου. Διαπιστώστε ότι το κυματικό φαινόμενο αναπτύσσεται μόνον στη διατομή του αντηχείου και όχι προς τη διεύθυνση του μήκους του.

Για το ηλεκτρικό πεδίο στο εσωτερικό του αντηχείου ισχύουν:

$$E_\rho = \frac{-\beta\alpha}{p_{01}} AJ'_0\left(\frac{p_{01}}{\alpha}\rho\right) \cos(n\varphi) \sin(\beta z) \quad (24)$$

Επειδή όμως $\beta = 0$ το $E_\rho = 0$

Για παρόμοιο λόγο προκύπτει και το $E_\varphi = 0$

για το E_z :

$$E_z = AJ_0(k_c\rho)\cos(n\varphi)\cos(\beta z) \Rightarrow E = AJ_0(k_c\rho) \quad (25)$$

Για το Μαγνητικό Πεδίο:

$$H_\rho = \frac{-j\omega\varepsilon}{k_c^2\rho}AJ_0(k_c\rho)\sin(n\varphi)\cos(\beta z) = 0, \quad n, \beta = 0 \quad (26)$$

$$H_\varphi = \frac{-j\omega\varepsilon n}{k_c}AJ'_0(k_c\rho) \quad (27)$$

Για όλες τις εξισώσεις:

- $k_c = \frac{p_{01}}{\alpha} = \frac{2.405}{\alpha}$
- $\beta = \frac{l\pi}{d} = 0$

Όντως λοιπόν το κυματικό φαινόμενο αναπτύσσεται μόνο στη διατομή του αντηχείου και όχι προς τη διεύθυνση του μήκους του.

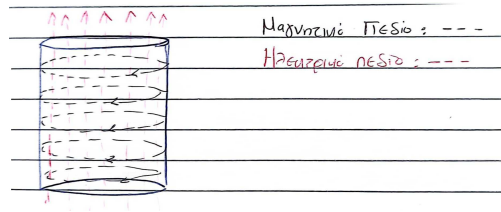


Figure 8: Δυναμικές Γραμμές Ηλεκτρικού και Μαγνητικού Πεδίου

4.2 Ερώτημα Β

Στο αντηχείο εισάγεται διηλεκτρική πλάκα (χαρακτηριστικών ϵ_r και $\tan\delta$) πάχους t και διαμέτρου $2a$, παράλληλα προς τις βάσεις του αντηχείου έτσι ώστε να εφάπτεται στην παράπλευρη επιφάνεια, και σε κάποια (τυχαία) απόσταση από την μία βάση. Δείξτε ότι η εισαγωγή της διηλεκτρικής πλάκας δεν μεταβάλλει τη μορφή του πεδίου (ηλεκτρικού ή μαγνητικού) στον κενό χώρο του αντηχείου, μεταβάλλει όμως τη σχέση των τιμών του ηλεκτρικού πεδίου εντός και εκτός

της διηλεκτρικής πλάκας.

Υποθέτουμε παρόμοια μορφή ηλεκτρικού και μαγνητικού πεδίου μέσα στη διηλεκτρική πλάκα. Πιο συγκεκριμένα έστω E :

$$E_z = BJ_0(k_c \rho) \quad (28)$$

Από τη συνέχεια των κάθετων συνιστωσών του Ηλεκτρικού Πεδίου, προκύπτει: $D_1 = D_2 \Rightarrow \epsilon_r \epsilon_0 BJ_0(k_c \rho) = \epsilon_0 AJ_0(k_c \rho) \Rightarrow B = \frac{A}{\epsilon_r}$ Επομένως αυτό που όντως μεταβάλλεται είναι η σχέση των τιμών του ηλεκτρικού πεδίου. Παρατηρούμε ότι οι οριακές συνθήκες προφανώς ισχύουν και για την συνέχεια των εφαπτομενικών συνιστωσών του Μαγνητικού Πεδίου $H_1 = H_2$. Σημειώνεται ότι με δείκτη 1 ορίζεται η το πεδίο μέσα στην πλάκα ενώ με 2 το πεδίο με διηλεκτρικό τον αέρα.

4.3 Ερώτημα Γ

Υπολογίστε το Q του αντηχείου με τη διηλεκτρική πλάκα

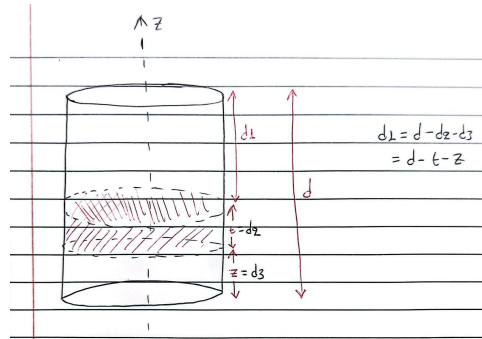


Figure 9: Αντηχείο με Διηλεκτρική Πλάκα

Θα προσπαθήσουμε να υπολογίσουμε το Q με βάση τον ορισμό:

$$Q = \omega \frac{W_e + W_m}{P_l} = \omega \frac{2W_e}{P_l} \quad (29)$$

Η 28 ισχύει επειδή βρισκόμαστε στον συντονισμό.

Η αποθηκευμένη Ενέργεια Ηλεκτρικού Πεδίου αναγκαστικά θα πρέπει να υπολογιστεί πεδιακά:

$$W_e = \frac{1}{4} \Re \left(\iiint_{V_1} \epsilon_0 |E|^2 \rho d\rho d\varphi dz + \iiint_{V_2} \epsilon_0 \epsilon_r |E|^2 \rho d\rho d\varphi dz + \iiint_{V_3} \epsilon_0 |E|^2 \rho d\rho d\varphi dz \right) \quad (30)$$

Για το πρώτο ολοκλήρωμα:

$$\int_0^{d_1} \int_0^{2\pi} \int_0^\alpha A^2 J_0^2(kc\rho) \rho d\rho d\varphi dz \Rightarrow 2\pi d_1 \underbrace{\int_0^\alpha A^2 J_0^2(kc\rho) \rho d\rho}_k = 2\pi d_1 k \quad (31)$$

Με ανάλογο τρόπο υπολογίζονται και τα χωρικά ολοκληρώματα 2 και 3 και προκύπτει:

$$(2) = \frac{2\pi d_2}{\varepsilon_r^2} k \quad (32)$$

και

$$(3) = 2\pi d_3 k \quad (33)$$

Συνολικά:

$$W_e = \frac{\varepsilon_0 \pi d_1}{2} k + \frac{\varepsilon_0 \pi d_2}{2\varepsilon_r} k + \frac{\varepsilon_0 \pi d_3}{2} k \quad (34)$$

Για την Ισχύ των απωλειών, δεδομένου ότι έχουμε τέλεια αγωγίμα τοιχώματα πέραν της πλάκας, θα πρέπει να υπολογίσουμε την ισχύ των απωλειών στην διηλεκτρική πλάκα. Αυτό θα γίνει με το παρακάτω ολοκλήρωμα:

$$\frac{1}{2} \sigma \int_0^{d_2} \int_0^{2\pi} \int_0^\alpha |E|^2 \rho d\rho d\varphi dz = \frac{\pi \omega \varepsilon_0 \tan \delta d_2 k}{\varepsilon_r} \quad (35)$$

Σε αυτό το σημείο καλό θα ήταν να επισημανθεί ότι:

- $\sigma = \omega \varepsilon_0 \varepsilon_r \tan \delta$,
- $d_1 = d - t - z$,
- $d_2 = t$,
- $d_3 = z$

Όπως ακριβώς φαίνεται και στο σχήμα.

Συνολικά με αντικατάσταση στην 28 βλέπουμε ότι το ολοκλήρωμα k απλοποιείται και παίρνουμε:

$$Q = \frac{\varepsilon_r (d_1 + d_3) + d_2}{\tan(\delta) d_2} = \frac{\varepsilon_r (d - t) + t}{t * \tan \delta} \quad (36)$$

4.4 Ερώτημα Δ

Στο αρχικό (κενό) αντηχείο εισάγεται εσωτερικά μεταλλική ράβδος, τέλεια αγωγή, διαμέτρου $2a$, όπως φαίνεται στο σχήμα. Ποια είναι η χαμηλότερη συχνότητα συντονισμού του;

Πλέον αντί για αντηχείο η διάταξη είναι βραχυκυκλωμένος συντονιστής $\lambda/2$ (ομοαξονικό καλώδιο).

Η μικρότερη συχνότητα συντονισμού, μπορεί εύκολα να υπολογιστεί, από τις σχέσεις:

$d = \lambda/2$ και $\lambda = \frac{c_0}{f}$, προκύπτει λοιπόν $d = \frac{c}{2f}$ 'αρα:

$$f = \frac{c_0}{2d} \quad (37)$$

4.5 Ερώτημα Ε

Ο ίδιος μεταλλικός αγωγός εισάγεται αλλά με τρόπο ώστε να ακουμπά μόνο στην αριστερή βάση, αφήνοντας ένα πολύ μικρό διάκενο d με τη δεξιά βάση, όπως φαίνεται στο σχήμα (πλάγια τομή). Αφού κατανοήσετε τη φυσική του προβλήματος, προσπαθήστε να γράψετε τις εξισώσεις για τον υπολογισμό της χαμηλότερης συχνότητας συντονισμού.

Το διάκενο εδώ λειτουργεί ως πυκνωτής παράλληλων πλακών, με διηλεκτρικό τον αέρα και χωρητικότητα, που δίνεται από τη σχέση:

$$C = \varepsilon \frac{S}{d} \quad (38)$$

Το ομοαξονικό καλώδιο θα παίζει τον ρόλο της Γραμμής μεταφοράς, ενώ ο πυκνωτής αυτόν του φορτίου. Η ελάχιστη συχνότητα θα βρεθεί από τον ορισμό του συντονισμού και συγκεκριμένα $Im(Z_{in}) = 0$. Αρχικά υπολογίζουμε το Z_0 της Γραμμής Μεταφοράς, από τους γνωστούς τύπους για TEM Γραμμές. Πιο συγκεκριμένα:

$$Z_0 = \frac{60}{\sqrt{\varepsilon_r}} \ln\left(\frac{\alpha}{\alpha'}\right) \quad (39)$$

και:

$$Z_L = \frac{-jd'}{\omega \varepsilon_0 s} \quad (40)$$

το ε_r το θεωρούμε 1 Βρίσκουμε το Z_{in} από τη γνωστή σχέση:

$$Z_{in} = Z_0 \frac{Z_L + jZ_0 \tan(\beta l)}{Z_0 + jZ_L \tan(\beta l)} = Z_0 \frac{\frac{-jd'}{\omega \varepsilon_0 s} + jZ_0 \tan(\beta l)}{Z_0 + \frac{d'}{\omega \varepsilon_0 s} \tan(\beta l)} = j \frac{\frac{-d'}{\omega \varepsilon_0 s} Z_0 + jZ_0^2 \tan(\beta d)}{Z_0 + \frac{d'}{\omega \varepsilon_0 s} \tan(\beta d)} \quad (41)$$

Σημειώνεται ότι κανονικά το 1 είναι $d - d'$ αλλά το d' είναι πολύ μικρότερο οπότε γίνεται αυτή η προσέγγιση. Επίσης $\beta = \frac{2\pi}{\lambda}$
Από τη σχέση ορισμού του συντονισμού:

$$Im(Z_{in}) = 0 \Rightarrow \omega = \frac{d'}{\varepsilon_0 S Z_0 \tan(\beta d)} \quad (42)$$

Με αντικατάσταση των $S = \pi \alpha'^2$ και Z_0 από την σχέση 39, προκύπτει:

$$f = \frac{d'}{120\pi^2 \alpha'^2 \varepsilon_0 \ln(\frac{\alpha}{\alpha'}) \tan(\beta d)} \quad (43)$$